

10. Берлиня Г.С. Электронные приборы с механически управляемыми электродами. М., "Энергия", 1971.
11. Патрин, Шнейдерман. Некоторые характеристики ускорителя с магнитной кольцевой дугой. - "Ракетная техника и космонавтика", 1966, № 2, с.1012-1016.
12. Журавлев О.А. и др. Экспериментальное исследование струи плазменного ускорителя с внешним магнитным полем. - В сб.: Материалы II Всесоюзной конференции по плазменным ускорителям, Минск, 1973, с. 221-222.
13. Филиппов Б.В. Обтекание тел разреженной плазмой. - В сб.: Аэродинамика разреженных газов. Изд. ЛГУ, 1969, вып.1У, с.133-141.
14. Коган М.Н. Динамика разреженного газа. М., "Наука", 1967.
15. Чекалин Э.К., Шуманов В.С. Истечение струи металлической плазмы в вакуум. - В сб.: Исследования по физической газодинамике. М., "Наука", 1966, с.101-108.
16. Курншев А.П. и др. Влияние тепловых скоростей ионов на аэродинамические характеристики тел в разреженной плазме. - В сб.: Аэродинамика разреженных газов. Изд. ЛГУ, 1969, вып.1У, с. 149-162.

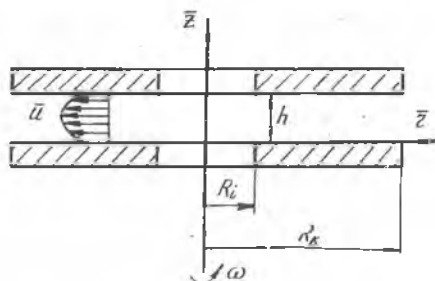
УДК 532.516

И.И. Саньков

РАДИАЛЬНОЕ ТЕЧЕНИЕ ЖИДКОСТИ В ЗАЗОРЕ  
МЕЖДУ БРАЩАЮЩИМСЯ И НЕПОДВИЖНЫМ ДИСКОМ

Рассмотрим осесимметричное течение вязкой несжимаемой жидкости в зазоре между двумя параллельными коаксиальными дисками внешнего ра-

диуса  $R_k$  (рис.1), имеющими внутреннее отверстие радиуса  $R_i$  и отстоящими друг от друга на расстоянии  $h$ . Нижний диск вращается с постоянной угловой скоростью  $\omega$ , верхний - неподвижный, (система координат показана на рис.1). Величину расхода в радиальном направлении обозначим через  $Q$ .



Р и с.1. Схема течения жидкости и система координат

Будем рассматривать случай относительно узких зазоров, т.е. наложим условие  $h \ll (R_k - R_i)$ . При этом течение в зазоре можно описать уравнениями движения типа уравнений пограничного слоя:

$$U \frac{\partial U}{\partial z} + W \frac{\partial U}{\partial z} - \frac{V^2}{z} = - \frac{dp}{dz} + \frac{\partial^2 U}{\partial z^2}; \quad (1)$$

$$U \frac{\partial V}{\partial z} + W \frac{\partial V}{\partial z} + \frac{UV}{z} = \frac{\partial^2 V}{\partial z^2} \quad (2)$$

и уравнением неразрывности

$$\frac{1}{z} \frac{\partial (zU)}{\partial z} + \frac{\partial W}{\partial z} = 0. \quad (3)$$

Граничные условия к системе (1) - (3) имеют вид

$$z=0: \quad U=0, \quad V=Re_n z, \quad W=0; \quad (4)$$

$$z=1: \quad U=0, \quad V=0, \quad W=0.$$

Система (1) - (3) и условия (4) записаны в безразмерных переменных

$$\begin{aligned} z &= \frac{\bar{z}}{h}, \quad z = \frac{\bar{z}}{h}; \\ U &= \bar{U} \frac{h}{\nu}; \quad V = \bar{V} \frac{h}{\nu}; \quad W = \bar{W} \frac{h}{\nu}; \\ p &= \frac{\bar{p}}{\rho(\nu/h)^2}, \quad Re_n = \frac{\omega h^2}{\nu}; \\ q &= \frac{Q}{2\pi h \nu} = \int_0^1 z U dz, \end{aligned} \quad (5)$$

где  $U, V, W$  - проекции вектора скорости;  
 $p$  - давление в зазоре;  
 $\rho$  - плотность жидкости;  
 $\nu$  - кинематическая вязкость

(черта сверху отмечает размерные величины).

На выходе из зазора поставим условие для давления

$$p = p_K. \quad (6)$$

Здесь и далее величинам с индексом  $K$  соответствует их значения на выходе, с индексом  $i$  - на входе в зазор.

Воспользуемся для построения итерационного процесса решения системы (1) - (3) с граничными условиями (4) методикой, предложенной в работе [1].

Интегрируя уравнение (1) поперек зазора от  $z=0$  до некоторого  $z$  внутри зазора дважды с учетом (4), получим

$$U = \frac{1}{2} \frac{dp}{dz} z(z-1) + f - Fz; \quad (7)$$

$$\left(\frac{\partial U}{\partial z}\right)_{z=0} = -\left(\frac{1}{2} \frac{dp}{dz} + F\right),$$

где

$$f(z, z) = \int_0^z \int_0^z \left( U \frac{\partial U}{\partial z} + W \frac{\partial U}{\partial z} - \frac{V^2}{z} \right) d\beta d\gamma;$$

$$F(z) = f(z; 1).$$

Аналогично для уравнения (2)

$$V = Re_n z(1-z) + g - Gz; \quad (8)$$

$$\left(\frac{\partial V}{\partial z}\right)_{z=0} = -(Re_n z + G).$$

где

$$g(z; z) = \int_0^z \int_0^z \left( U \frac{\partial V}{\partial z} + W \frac{\partial V}{\partial z} + \frac{UV}{z} \right) d\beta d\gamma;$$

$$G(z) = g(z; 1).$$

Из уравнения неразрывности (3) следует

$$W = -\int_0^z \frac{1}{z} \frac{\partial}{\partial z} (zU) d\gamma. \quad (9)$$

При подстановке (7) в условие (5), получим формулу, определяющую изменение давления вдоль радиуса

$$\frac{dp}{dz} = -12 \frac{q}{z} + 6(E-F), \quad (10)$$

где

$$E = 2 \int_0^z f(z; z) dz.$$

Проинтегрируем (10) с учетом (6)

$$p - p_\kappa = -12q \ln\left(\frac{z}{z_\kappa}\right) - 6 \int_{z_\kappa}^z (E-F) dz. \quad (11)$$

Величину давления, которая согласуется с заданной величиной расхода, получим при подстановке  $z = z_i$  в выражение (11).

Выберем в качестве начального решения системы (1) - (3) с граничными условиями (4) решение для случая, когда пренебрегают всеми инерционными членами, кроме центробежного в (1).

Подобное решение получено, например, в работе [2] и имеет вид

$$U = -\frac{6q}{z} z(z-1); \quad V = Re_n z(1-z); \quad (12)$$

$$W = 0; \quad \frac{dp}{dz} = \frac{3}{10} Re_n z - \frac{12q}{z}.$$

На основании (12) запишем инерционные члены в систему (1) - (2) и определим интегральные функции  $f$ ,  $F$ ,  $g$ ,  $G$ ,  $E$ . Подстановка  $E$  и  $F$  в (11) позволяет найти распределение давления в первом приближении, подстановка этих функций в (10) и обращение к (7), (8) и (9) дают первое приближение для составляющих скорости  $U^{(1)}$ ,  $V^{(1)}$ ,  $W^{(1)}$ , которое служит исходным для следующего приближения.

Отпуская несложные выкладки, приведем сводку результатов

$$U^{(1)} = -\frac{6q}{z} z(z-1) - \frac{6q^2}{z^3} \left( \frac{z^6}{5} - \frac{3}{5} z^5 + \frac{z^4}{2} - \frac{z}{10} \right) - Re_n^2 z \left( \frac{z^9}{12} - \frac{z^3}{3} + \frac{7}{20} z^2 + \frac{z}{10} \right);$$

$$V^{(1)} = Re_n z(1-z) + \frac{q Re_n}{z} \left( \frac{3}{5} z^5 - 2z^4 + 2z^3 - \frac{3}{5} z \right);$$

$$W^{(1)} = Re_n^2 \left( \frac{z^5}{30} - \frac{z^4}{6} + \frac{7}{30} z^3 - \frac{z^2}{10} \right) - \frac{12q^2}{z^4} \left( \frac{z^7}{35} - \frac{z^6}{10} + \frac{z^5}{10} - \frac{z^2}{10} \right);$$

$$p^{(1)} - p_\kappa = \frac{3}{20} Re_n (z^2 - z_\kappa^2) - 12q \ln\left(\frac{z}{z_\kappa}\right) - \frac{27}{35} q^2 \left( \frac{1}{z^2} - \frac{1}{z_\kappa^2} \right). \quad (13)$$

Введенный момент трения

$$M = - \int_{z_i}^{z_k} z^2 \left( \frac{\partial V}{\partial z} \right)_{z=0} dz$$

высчитывается согласно (8)

$$M^{(0)} = \frac{Re_n}{4} \left[ (z_k^4 - z_i^4) + \frac{6}{5} q (z_k^2 - z_i^2) \right].$$

Формулу во втором приближении запишем лишь для важнейшей характеристики - момента трения вращающегося диска

$$\frac{M^{(2)}}{Re_n} = (1 + 0,00422 Re_n^2)(z_k^4 - z_i^4) + 1,2q \left[ (1 + 0,00064 Re_n^2)(z_k^2 - z_i^2) + 0,1269q \ln \left( \frac{z_k}{z_i} \right) \right]. \quad (14)$$

Рассмотрим случай "естественного" подсоса. При вращении диска за счет трения на его поверхности жидкости в зазоре сообщается окружная скорость, и возникающие при этом центробежные силы приводят к появлению радиального течения. Расход определяется условиями подвода жидкости в зазор, который может осуществляться прямо из атмосферы, или, например, через длинную цилиндрическую трубку. В первом случае условие на входе в зазор может быть сформулировано следующим образом: полагая, что профиль скорости на входе в зазор однородный, а подтекание по входу - потенциальное, во входном сечении применим интеграл Бернулли:

$$p - p_a = - \frac{1}{2} \left( \frac{q}{z_i} \right)^2 \quad \text{при } z = z_i, \quad (15)$$

где  $p_a$  - атмосферное давление.

Положим  $p_k = p_a$ , тогда из (11) и (15) следует условие для определения расхода

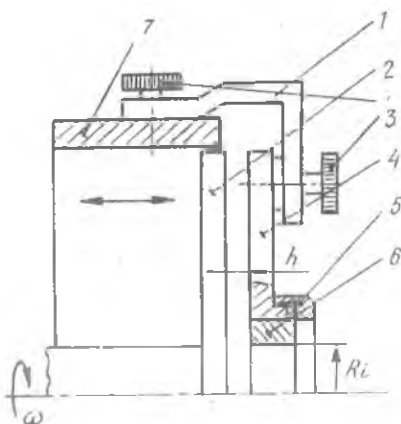
$$\frac{1}{2} \left( \frac{q}{z_i} \right)^2 + 12q \ln \left( \frac{z_k}{z_i} \right) - 6 \int_{z_i}^{z_k} (E-F) dz = 0,$$

причем, в первом приближении

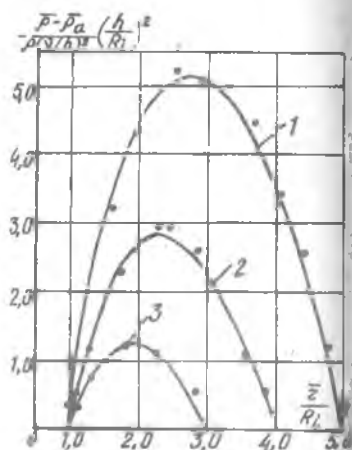
$$\left[ \frac{1}{2} \left( \frac{q}{z_i} \right)^2 - \frac{27}{35} \left( \frac{1}{z_k^2} - \frac{1}{z_i^2} \right) \right] (q^{(0)})^2 + 12q^{(0)} \ln \left( \frac{z_k}{z_i} \right) - \frac{3}{20} (z_k^2 - z_i^2) Re_n^2 = 0.$$

Распределение давления по радиусу дисков в случае "естественного подсоса" было исследовано на экспериментальной установке, принципиальная схема которой приведена на рис.2. Металлический диск 2 диаметром 204 мм на валу приводился во вращение электродвигателем постоянного тока, посредством изменения напряжения на котором скорость вращения регулировалась в пределах 100-6500 об/мин. Неподвижный диск 4 с помощью трех кронштейнов I крепился на подвижном кожухе 7, перемещением которого устанавливалась высота зазора; величина

на  $h$  фиксировалась шупом. Грубая регулировка параллельности дисков производилась винтами 3, точная - регулировкой уровня давления в дренажных сечениях (диск 4 и втулки 6 были дренированы по трем радиальным направлениям через  $120^\circ$ ). Во всех экспериментах отличие измеряемых величин в точках на разных направлениях составляло не более 3%. Измерения давления производились микроманометрами типа



Р и с.2. Схема экспериментальной установки



Р и с.3. Распределение давления по радиусу диска  $Re_L=2,0$ :  
 1 -  $\frac{R_L}{R_L} = 5$ ; 2 -  $\frac{R_L}{R_L} = 4$ ;  
 3 -  $\frac{R_L}{R_L} = 3$

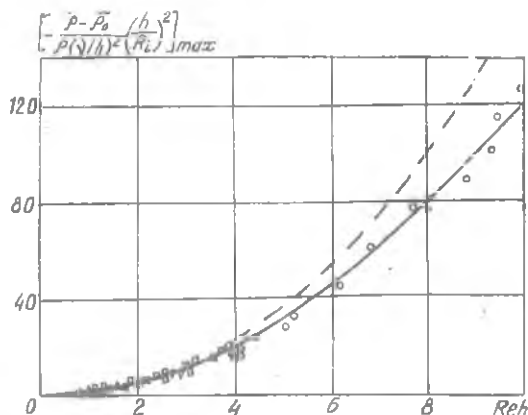
ЦАГИ. Смена втулки 6 под накладной крышкой 5 позволяла регулировать размер внутреннего отверстия. Для каждого значения зазора измерения проводились многократно, а их результаты осреднялись, причем каждый раз зазор устанавливался заново.

Результаты измерений распределения давления в зазоре и расчета по формуле (13) показаны на рис.3. Качественный характер кривой давления с максимумом разрежения внутри зазора сохранялся при  $h < 1$  мм в исследованном диапазоне изменения угловой скорости. Сравнение результатов экспериментальных и расчетных значений максимума разрежения (рис. 4) показывает их хорошее совпадение вплоть до  $Re_L=10$ .

Введем коэффициент момента трения

$$C_m = \frac{2M}{\rho\omega^2 R^2}$$

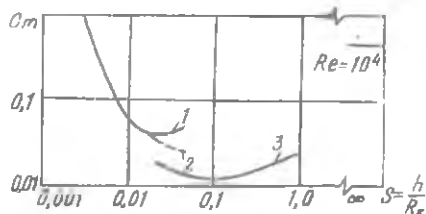
Результаты расчета  $C_m$  (рис.5) показали наличие линейного участка в области малых относительных зазоров.



Р и с. 4. Максимальное локальное разрежение в зазоре  $R_c/R_i = 5$ :  
 - формула (30); - - - формула (26);  $\Delta - h = 0,1$  мм;  $\nabla - h = 0,2$  мм;  $\square - h = 0,3$  мм;  $\circ - h = 0,5$  мм

При увеличении зазора вид зависимости  $C_m$  от  $S$  меняется, результаты, полученные во втором приближении, указывают на существование минимума величины  $C_m$ .

На рис.5 приведены результаты эксперимента [3] по измерению



Р и с.5. Расчет коэффициента момента трения, режим "естественно подсоса"  $Re = \frac{\rho \omega R^2 \kappa}{\mu}$ : 1 - формула(33); 2 - формула (32); 3 - [3]

момента трения на диске в закрытом кожухе и расчетное значение  $C_m$  для диска в свободном пространстве, которые качественно хорошо со-

ласуются с результатами расчета по формуле (14) для  $Re = \frac{\omega R_k^2}{\nu} = 10^4$ .

В заключении отметим, что полученное решение легко обобщается для случая конического зазора [4].

#### Л и т е р а т у р а

1. Мэтч П., Райс У. Асимптотическое решение для ламинарного течения несжимаемой жидкости между вращающимися дисками. - "Прикладная механика", 1968, т.35, № 4.
  2. Пелех Д., Шапиро А. Гибкий диск, вращающийся на газовом слое вблизи стенки. - "Прикладная механика", 1964. т.31, № 4.
  3. Pantell K. *Fozchung auf dem Gebiete des Ingenieurwesens*, 1950, v. 16, s 97-108.
  4. Райс У., Мак-Алистер К. Ламинарное течение ньютоновской жидкости между соосными вращающимися конусами. - "Прикладная механика", 1970, т.37, № 1.
-